



التحليل الجيومترى لخزان سد وادي الجفر المقترن في قضاء الشرقاوى، شمالى محافظة صلاح الدين / العراق

لؤى موسى راوي^{1*} ، عمار جماد محمد² ، محمد راشد عبود³

قسم علوم الارض التطبيقية، كلية العلوم، جامعة تكريت، تكريت، العراق^{3.2.1}

الملخص

تضمنت هذه الدراسة إجراء تحليل جيومترى لخزان وادي الجفر المقترن في منطقة الشرقاوى شمالى محافظة صلاح الدين. تم استخدام نموذج الارتفاع الرقمي (DEM) بدقة (10*10) متر لكل مساحة بيكلل لاستخراج العناصر الجيومترية بواسطة برامج Global ArcGIS و Surfer Mapper، والتي تشمل: الحجم السالب (حجم التخزين)، الحجم الموجب (حجم الجزر)، والمساحة السطحية السالبة والمساحة السطحية الموجبة والمساحة المستوية السالبة والمساحة المستوية الموجبة، ومتوسط عمق الخزان، ومتوسط سمك الجزر، ومن ثم ايجاد العلاقة ما بين منسوب الماء والعناصر الجيومترية وتوضيح التغير في قيم هذه العناصر مع زيادة المنسوب حيث تبين بان حجم الخزين لسد وادي الجفر المقترن عند المنسوب 185 م يساوي (941788 م³) ومن خلال العلاقة بين المساحة السطحية السالبة مع مستوى الماء وجد بان المساحة تزداد نتيجة اضافة جزر جديدة داخل حدود الخزان وبلغت قيمة المساحة السطحية السالبة القصوى (228212 م²)، بينما بلغت اكبر مساحة سطحية موجبة والتي يمكن ان يغمرها الخزان حوالي (1845 م²). كما تبين بان ارتفاع السد عند منسوبه الاعلى يبلغ (12.25 م)، فيما بلغ عرض السد المقترن (211.1 م).

معلومات الارشيف

تاريخ الاستلام: 29- يناير - 2024

تاريخ المراجعة: 24- مارس - 2024

تاريخ القبول: 26- مايو - 2024

تاريخ النشر الالكتروني: 01- اكتوبر - 2025

الكلمات المفتاحية:

سد الجفر

التحليل الجيومترى

العناصر الجيومترية

منسوب الماء

حدود الخزان

المراسلة:

الاسم: لؤى موسى راوي

Email: loaytaref@tu.edu.iq

Geometrical Analysis of Al-Jafer Wadi Proposed Dam, Shirqat District- Northern Salahaddin Government, Iraq

Loai Moussa Rawee^{1*} , Amar Jamad Mohammed² , Mohammed Rashed Abood³

^{1,2,3}Department of Applied Geology, College of Science, University of Tikrit, Tikrit, Iraq.

Article information

Received: 29- Jan -2024

Revised: 24- Mar -2024

Accepted: 26- May -2024

Available online: 01-Oct-2025

Keywords:

Keywords:

All Safer Dam Geometrical Analysis

Geometrical Analysis Geometrical Elements

Geometrical Water level

Water level Reservoir boundaries

Correspondence:

Name: Loai Moussa Rawee

Email: loaytaref@tu.edu.iq

ABSTRACT

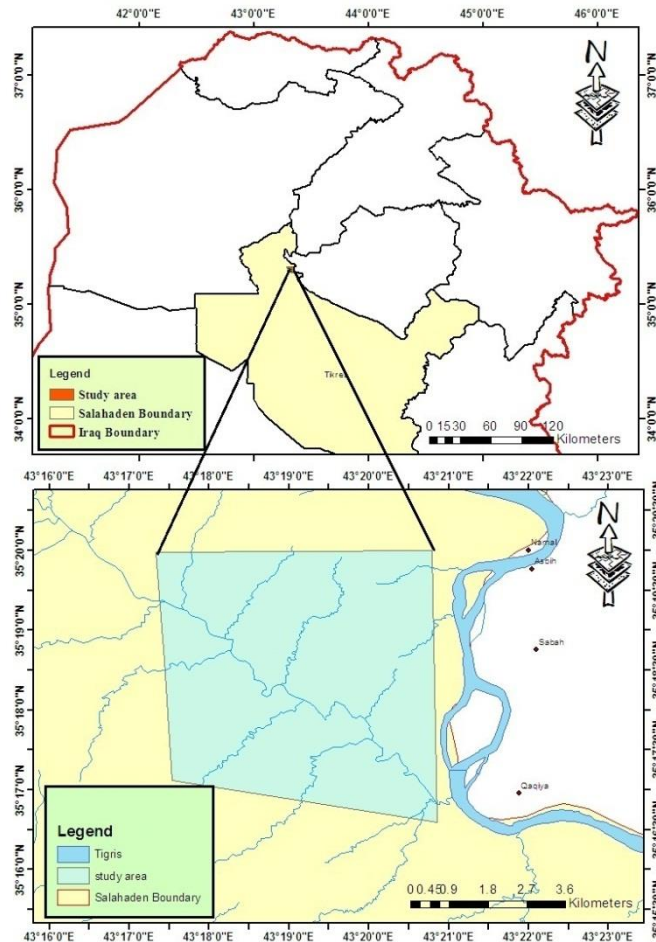
This Study Includes a geometrical Analysis of Wadi Al- jafer proposed in Shirqat district- north of Salah addin Government. In this work, to extract the geometrical elements, DEM with (10*10) m Pixels Arc GIS,Global Mapper and Software are utilized. These elements include a negative and positive (land) surface volume, negative and positive surface area, uneven area islands, water depth average and land thickness. In order to investigate the variation of these elements with each water level, the relationships between water level against each geometrical element are plotted. The results show that the reservoir volume of the proposed dam at level 185 m equals (941788 m³). The graph of negative surface area versus water level shows that the area will increase with a new added land within the reservoir boundaries. Also, it is found that maximum negative surface area is (228212 m²) whereas the max positive surface area which may immerged by reservoir is about (1845m²). Finally, the results also, reveal that the dam height at its maximum level is (12.25m) and the proposed dam width is about (211.1m).

DOI: [10.3389/earth.2024.146470](https://doi.org/10.3389/earth.2024.146470), ©Authors, 2025, College of Science, University of Mosul.
This is an open access article under the CC BY 4.0 license (<http://creativecommons.org/licenses/by/4.0/>).

المقدمة

تعد الموارد المائية من اهم المرتكزات وإحدى اهم المتطلبات الانسانية في جميع الاوقات لإدامه الحياة، فمن غير المياه لا يمكن مواصلة الحياة فهي المورد الذي يستند عليه الانتاج الغذائي ويكون اهم العناصر البيئية ويلعب دورا مهما في كافة الجوانب. وفي العراق، نتيجة للتطور الاقتصادي والنمو السكاني فان الحاجة للموارد المائية في تزايد مستمر يقابلها التناقض في الموارد المائية نتيجة للتسعات الحاصلة واستثمار الدول القريبة من الانهار للموارد المائية التي تصل الى العراق لذلك يجب الاعتماد على سياسة مائية تقوم على الاستثمار الافضل لهذا المورد. وستبقى المياه هي المحور المميز والأساسي لتوسيع رقعة الاراضي الزراعية على المدى الطويل، وعلى مخططى سياسة المياه الاخذ بكل هذه الحقائق (Ministry of Water Resources, 2010). ومن مقترنات وزارة الموارد المائية إنشاء العديد من السدود على الانهار وعلى الارادية والتي تعمل كخزانات مائية وتوليد الطاقة الكهربائية. ومن هذا المنطلق جاءت فكرة إجراء عملية التحليل الجيومترى لمياه خزان وادي الجفر. تعد السدود من أهم ركائز إدارة الموارد المائية وتم بناؤها لأغراض عديدة، بما في ذلك التحكم في الفيضانات وتوليد الطاقة الكهرومائية والزراعة والري والسياحة. يعتمد بناء وتصميم السدود لأي منطقة في العالم على الشكل الهندسي وتحليل الخزانات أو القنوات، حيث تهدف عمليات التحليل الجيومترى إلى إيجاد مستوى التشغيل الأمثل وخصائص الخزان وغيرها وإنشاء قاعدة بيانات للعناصر الجيومترية المتمثلة في الحجم السالب، الحجم الموجب، المساحة السطحية الموجبة، المساحة السطحية السالبة، ومتوسط عمق الخزان، ومتوسط سمك الجزر. وتتمكن أهمية التحليل الجيومترى في استخدامه لتحديد منسوب التشغيل الأمثل لخزانات المياه بين عدة مستويات، واستخدم في هذه الدراسة نموذج الارتفاع الرقمي DEM بدقة (10×10) م لكل بكسل لإيجاد العناصر الجيومترية لكل من هذه المستويات المختارة. ويعد التحليل المكانى للخصائص الجيومترية للخزان مهما جدا لمعرفة العلاقات بين الخواص الجيومترية ومستوى المياه فى

الخزان اضافة الى تحليل المعايير الجيومترية مثل الحجم السالب والحجم الموجب والمساحة السطحية الموجبة والمساحة المستوية الموجبة والمساحة السطحية السالبة والمساحة المستوية السالبة وحجم الجزر لخزان السد (Saleh et al, 2021). تقع منطقة الدراسة ادارياً ضمن محافظة صلاح الدين، بشمال العراق، جنوبى قضاء الشرقاوى بالقرب من قرية الجفر بين طيبة خانوكه وطيبة مكحول والمحددة بين خطى طول ($43^{\circ} 23' 0''$) و ($43^{\circ} 16' 0''$) شرقاً ، ودائرة عرض ($35^{\circ} 0' 0'''$) و ($35^{\circ} 0' 20''$) شمالاً (الشكل 1).



الشكل 1. خارطة موقعة لمنطقة الدراسة

تهدف الدراسة الحالية الى إيجاد المستوى التشغيلي الأمثل والأكثر أماناً والقادر على استيعاب كمية من المياه للحد من عملية هدر المياه خصوصاً في فصل الشتاء عند تساقط كميات كبيرة من الامطار حيث ان هذه المياه تذهب جميعها دون الاستفادة منها.

كذلك استخلاص العناصر الجيومترية المتمثلة في حجم المخزون والمساحة السطحية السالبة والموجبة لخزان وعمق الخزان المائي ومتوسط ارتفاع الجزر وتحليل علاقتها مع بعضها البعض واختلاف شكل الخزان من أجل استخراج قاعدة بيانات موثوقة في حالة بناء السد المقترن في وادي الجفر.

من الدراسات السابقة حول التحليل الجيومترى، دراسة (Al-Kraaey, 2016) والتي تناولت التحليل الجيومترى لموقع سد وادي الجرفان في قضاء الشرقاوى ومن خلال هذه الدراسة تم إنشاء قاعدة بيانات متكاملة لدعم الاستثمار والتنمية في إدارة الموارد المائية في تلك المنطقة. ودراسة (Al-Shahri, 2016) للاستبعاد لفيضان في نهر دجلة في مدينة بيجي ولخزان سد مكحول المقترن بحسب التشغيل الافتراضي للسد. ودرس (Al-Jubouri, 2018) التحليل

الجبولجي والجيومنتري لخزان سد ابو خشب جنوب شرق تكريت، العراق. ودراسة (Al-Qaisi et al, 2018) والتي تضمنت اجراء التحليل الجيومنتري لخزان سد الوند حيث تم استخدام نظم التحليلات المكانية واستخدام نظم المعلومات الجغرافية وتم في هذا البحث دراسة في المتغيرات المكانية في المستويات المختلفة. ودراسة (Badawi, 2023, Al-Jubouri, 2023) اجريت التحليلات المكانية للخواص الجيومنترية لخزان سد بادوش في مدينة الموصل، شمال العراق. ودراسة (Jubouri, 2023) منهجية جديدة لاستبعاد خزان سد حديثة وامكانية التخزين في سد البغدادي المقترن، دراسة هيدرولوجية-جيومنترية، غرب العراق.

جيولوجية منطقة الدراسة

ترسبات العصر الرباعي Quaternary Deposits

تتألف رواسب العصر الرباعي من ترسبات عصري البلاستوسين والهولوسين، حيث تغطي ترسبات هذا العصر مساحات واسعة في العراق في السهل الرسوبي والדלתا في مناطق وجود الشرفات النهرية وفي الوديان ما بين الجبال القديمة، ولقد أثرت التذبذبات المناخية والتغير الدوري في مستوى سطح البحر خلال عهد البلاستوسين كثيراً في طبيعة رسوبيات هذا العصر (Buday, 1980).

تغطي ترسبات العصر الرباعي في منطقة الدراسة مناطق متفرقة، وتتألف من ترسبات والرمل والطين والغرين وقطع من الصخور الرسوبيّة التي هي عبارة عن فتات صخري ناتج من عمليات التجوية والتعرية للصخور المنكشفة في المنطقة وعادة ما تكون مزيجاً من الجبس وتكسرات الصخور الرملية والطينية التابعة لتكويني فتحة وانجانة.

المواد وطرق العمل

تمت عملية استخراج حسابات وعلاقات وقيم الخواص الجيومنترية باستخدام البرامج الجيولوجية الحديثة وبالاعتماد على نموذج الارتفاعات الرقمية (DEM) بدقة (10×10) م لكل بكسل، إذ شملت حسابات الحجم السالب والحجم الموجب، والمساحة المستوية السالبة والمساحة المستوية الموجبة، والمساحة السطحية غير المستوية السالبة والمساحة السطحية غير المستوية الموجبة، اذ تمت جدولة هذه النتائج وتوضيحها، وتلخصت خطوات منهجية التحليل الجيومنتري بالخطوات التالية:

- 1-استخدام نماذج الارتفاعات الرقمية (DEM) لاستقطاع منطقة الدراسة بدقة وضوح (10×10) متر للبكسل الواحد وتحديد المناسبات المنتسبة.
- 2-تمت معالجة البيانات لنموذج الارتفاع الرقمي بواسطة Surfer 17.2 و Global Mapper 21.0 و Arc GIS 10.8 لإيجاد الخواص الجيومنترية.
- 3- تم استقطاع منطقة الدراسة في برنامج Global Mapper 21.0 (Global Mapper Package File عند المنسوب الاعلى للخزان 185 م).
- 4- توليد خطوط الكنتور لارتفاعات سطح الارض للمناسبات المنتسبة ضمن الخزان المقترن وذلك لإيجاد القيم الجيومنترية للعناصر باستخدام الامر (Generate Contour)، اذ تم اخذ فاصلة كنتورية مقدارها ربع متر (0.25) م من المنسوب الادنى الذي يمثل النقطة الأوطأ في قعر الخزان ضمن حدود الوادي عند موقع السد المقترن الى اعلى نقطة والتي تمثل منسوب قمة السد المقترن.

5- يتم حساب قيم العناصر الجيومترية من خلال أيقونة (Grid-Volume) في برنامج Surfer 17.2 بعد استدعاء البيانات المصدرة من Global Mapper 21.0.

6- يقوم برنامج (Surfer17.2) بعد الخطوة السابقة بإعداد تقرير لكل خط كنتور مستدعى بامتداد (Grid Volume Report) والذي يتم فيه استخراج العناصر الجيومترية المساحية والحجمية للمنسوب المعني متمثلة بحساب Planar (Positive Volume)، الحجم الموجب (Negative Volume)، المساحة المستوية الموجبة (Surface Area)، المساحة المسالبة (Negative Planar Area)، المساحة السطحية المسالبة (Positive Area)، المساحة السطحية الموجبة (Positive Surface Area)، المساحة المسالبة الموجبة (Negative Surface Area)، ثم بعد ذلك يتم حساب معدل العمق للخزان ومعدل سمك الجزر والحجم المتبقى لكل منسوب منتخب وتم ادراج النتائج في جدول (1).

7- في برنامج Excel يتم جدولة للبيانات التي حصلنا عليها من تقرير Surfer 17.2 للعناصر الجيومترية واخيرا يتم رسم العلاقات بين منسوب الماء الافتراضي والعناصر الجيومترية.

النتائج والمناقشة

ان الدراسات الخاصة بالعناصر الجيومترية محليا وعالميا قليلة جدا الا ان هناك القليل من الدراسات الحديثة التي تستخدم هذه المنهجية مثل دراسة (Al-Bayati, 2020) في اجراء عمليات تحليل جيولوجية وجيومترية لخزان سد فتحة المقترن كسد صد لخزان سد مكحول المقترن وغيرها من الدراسات المحلية مثل دراسات (Saleh, 2014) et al, 2021، (Saleh, 2022)، (Al-Kraaey et al, 2022) على خزان سد مكحول، وخزان سد الوند، وخزان سد بخمة على التوالي كدراسات هيدروجيومترية لتحديد المستوى الامثل وتحديد مسارات خزانات هذه السدود وتحليل التكوينات الجيولوجية المغمورة.

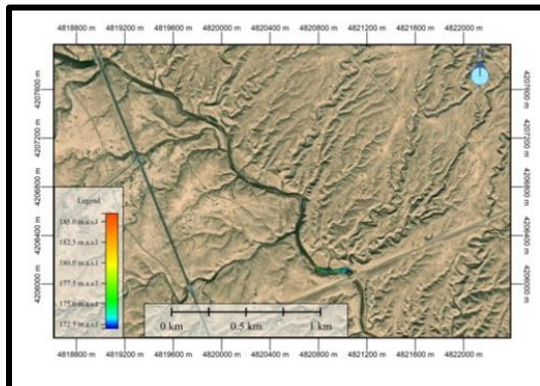
أظهرت نتائج التحليل الجيومترى تباينا في المساحة السطحية الموجبة والمسالبة وحجم الجزر مع زيادة المنسوب نتيجة إضافة جزر جديدة إلى الخزان. ويبين الجدول (1) نتائج التحليل الجيومترى، كما توضح الأشكال (2-5) اتساع الخزان عند مستويات مختلفة. تمثل الأشكال (6-12) العلاقات بين منسوب الماء المختار والعناصر الجيومترية.

جدول رقم 1: قيم العناصر الجيومترية المناظرة لكل منسوب من المناسبات المقترنة والموقعة المقترن.

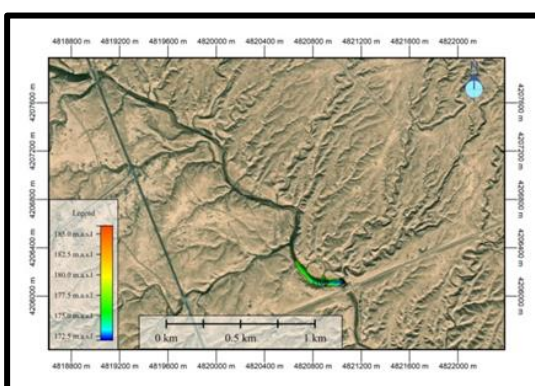
ارتفاع السد المقترن	عرض السد المقترن	الحجم المتبقى	م³	معدل سمك الجزر	م	معدل عمق الخزان	م	المساحة السطحية المسالبة	م²	المساحة السطحية الموجبة	م²	المساحة المسالبة	م²	المساحة المسالبة الموجبة	م²	الحجم المسالب	م³	الحجم الموجب	م³	منسوب الماء	م. ف. م. س. ب.
0	941775	0	0.46	28	0	28	0	28	0	28	0	13	0	172.75							
0.25	108.3	941648	0	1.01	138	0	138	0	138	0	140	0	173								
0.5		941397	0	1.1	356	0	355	0	355	0	391	0	173.25								
0.75	115.5	941074	0	1.44	497	0	495	0	495	0	714	0	173.5								
1		940679	0.5	1.44	767	2	765	2	765	2	1109	1	173.75								
1.25	122.7	940221	0.25	1.46	1075	4	1071	4	1071	4	1567	1	174								
1.5		938911	0	1.87	1542	0	1536	0	1536	0	2877	0	174.25								
1.75	128.3	937843	0	1.97	2000	0	1994	0	1994	0	3945	0	174.5								
2		936552	1.5	1.81	2896	2	2885	2	2885	2	5236	3	174.75								
2.25	132.5	935075	0	1.99	3374	0	3359	0	3359	0	6713	0	175								
2.5		933228	0	2.14	4010	0	3990	0	3990	0	8560	0	175.25								
2.75	135.9	931292	0	2.33	4520	0	4496	0	4496	0	10496	0	175.5								
3		927674	1.02	2.02	7043	41	6986	40	6986	40	14114	41	175.75								
3.25	139.3	924391	0.54	2.21	7912	12	7846	11	7846	11	17397	6	176								
3.5		921162	0.3	2.28	9111	10	9040	10	9040	10	20626	3	176.25								
3.75	143	917256	0.48	2.37	10421	27	10330	25	10330	25	24532	12	176.5								
4		914009	0.38	2.33	12021	27	11915	26	11915	26	27779	10	176.75								
4.25	149.9	910153	0.68	2.38	13417	17	13283	16	13283	16	31635	11	177								
4.5		905886	2	2.42	14974	2	14817	2	14817	2	35902	4	177.25								
4.75	155.9	900789	0.96	2.48	16692	33	16517	33	16517	33	40999	32	177.5								
5		892988	1.66	2.53	19454	3	19250	3	19250	3	48800	5	177.75								
5.25	160.1	885107	2.44	2.59	22084	9	21877	9	21877	9	56681	22	178								
5.5		875609	1	2.61	25515	11	25308	11	25308	11	66179	11	178.25								
5.75	163.9	866229	0.75	2.64	28808	4	28584	4	28584	4	75559	3	178.5								

6		857745	1.55	2.68	31553	18	31304	18	84043	28	178.75
6.25	166.5	842563	1.25	2.86	34889	52	34605	51	99225	64	179
6.5		829785	0.82	2.93	38513	35	38177	35	112003	29	179.25
6.75	169.5	814671	1.35	2.98	43002	52	42599	51	127117	69	179.5
7		800299	1.23	3.04	46860	57	46401	56	141489	69	179.75
7.25	172.06	784034	1.18	3.04	52298	23	51811	22	157754	26	180
7.5		765082	3.5	3.06	58263	12	57712	12	176706	42	180.25
7.75	174.1	744879	3.25	3.13	63342	8	62744	8	196909	26	180.5
8		723110	2.8	3.17	69496	26	68853	26	218678	73	180.75
8.25	176.7	699618	1.72	3.2	76303	62	75561	61	242170	105	181
8.5		674902	1.88	3.29	81785	52	81020	52	266886	98	181.25
8.75	179.7	647292	2.01	3.25	91263	4207	90360	4091	294496	8231	181.5
9		623865	1.97	3.29	97470	3827	96454	3718	317923	7330	181.75
9.25	183.1	591163	1.94	3.32	106765	3452	105600	3347	350625	6518	182
9.5		554369	1.97	3.24	120726	3092	119544	2986	387419	5911	182.25
9.75	187.3	515207	1.93	3.34	128923	2764	127573	2671	426581	5169	182.5
10		474665	1.96	3.45	136868	2531	135396	2438	467123	4801	182.75
10.25	192.03	433630	2.1	3.53	145287	2158	143711	2065	508158	4348	183
10.5		388589	2.13	3.67	152236	1929	150555	1842	553199	3935	183.25
10.75	197.9	341288	2	3.79	160246	1798	158323	1720	600500	3450	183.5
11		290961	1.89	3.81	172584	1753	170493	1678	650827	3182	183.75
11.25	203.5	238164	1.86	3.9	182445	1521	180311	1457	703624	2714	184
11.5		182793	0.84	3.95	194398	3916	192086	3855	758995	3256	184.25
11.75	205.2	121021	0.81	4.05	205220	3373	202547	3316	820767	2718	184.5
12		63253	0.72	4.09	217248	2703	214703	2667	878535	1946	184.75
12.25	211.1	0	1.19	4.17	228212	1845	225489	1809	941788	2159	185

يوضح الشكل (A-2) شكل الخزان عند منسوب (175)م فوق مستوى سطح البحر والشكل (B-2) شكل الخزان
عند منسوب (177)م.

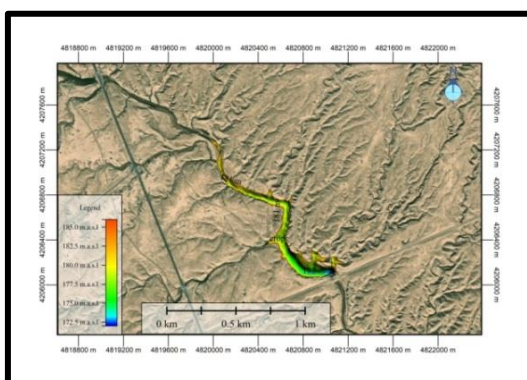


الشكل(2-B) شكل الخزان عند المنسوب 175م.

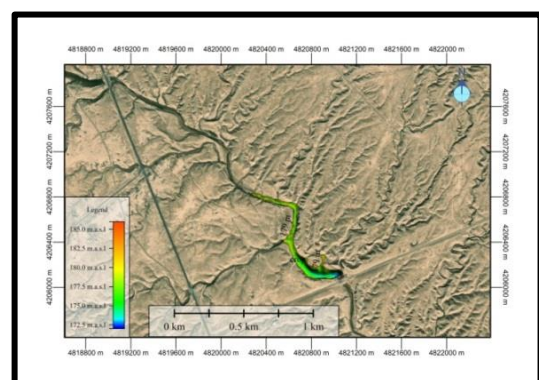


الشكل (A- 2) شكل الخزان عند المنسوب 175م.

وفي الشكل (A-3) أصبحت حدود الخزان وامتداداته أكثر وضوحاً، حيث نلاحظ امتدادات كبيرة نحو الغرب
والشمال، في حين يتسع الخزان عند المستوى (181)m بشكل أكبر نحو الشمال الغربي مع زيادة المساحة المغمورة (الشكل
. (B3).

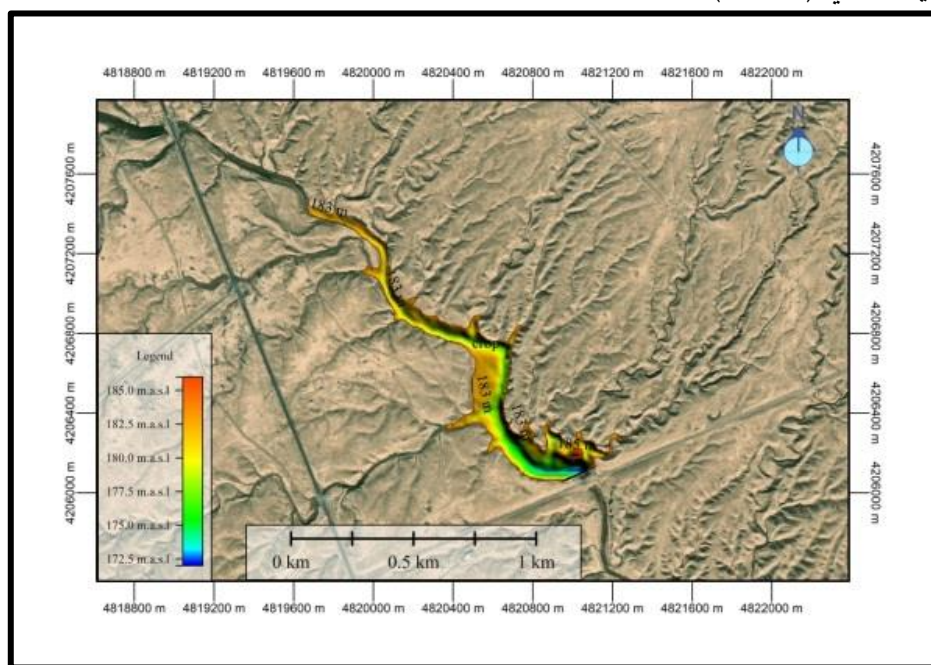


الشكل (A-3) الخزان عند المنسوب 179م.



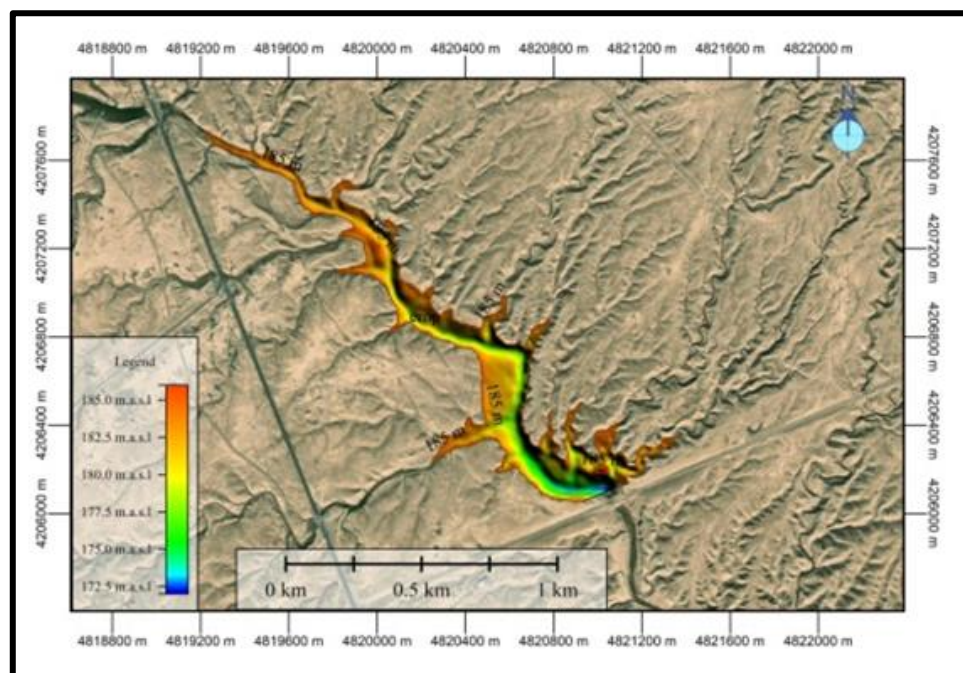
الشكل (B-3) الخزان عند المنسوب 181م.

ونلاحظ عند منسوب (183)م ان الخزان يتسع أكثر والمساحة المغمورة تزداد بشكل أكبر وكذلك يظهر لدينا العديد من الفروع للوادي الرئيسي (الشكل 4).



الشكل 4. الخزان عند المنسوب 183م.

ومن خلال تقييمات الاستشعار عن بعد، يلاحظ أن هناك بعض القرى والمباني يمكن أن تغمرها المياه عندما يصل الخزان إلى أقصى منسوب 185م (الشكل 5)، وهي إحدى المشاكل التي قد تدخل في بناء السد. ومن ناحية التلوث، فإن عدم وجود محطات معالجة مياه الصرف الصحي قد يتسبب بذلك بتلوث المياه وبالتالي يتم التخلص منها باتجاه النهر مما يسبب تلوثاً عضوياً في حال بناء السد، ومن كل ما تقدم نستنتج بأن وجود خزان الجفر له آثار سلبية وإيجابية تتمثل فيما يلي:

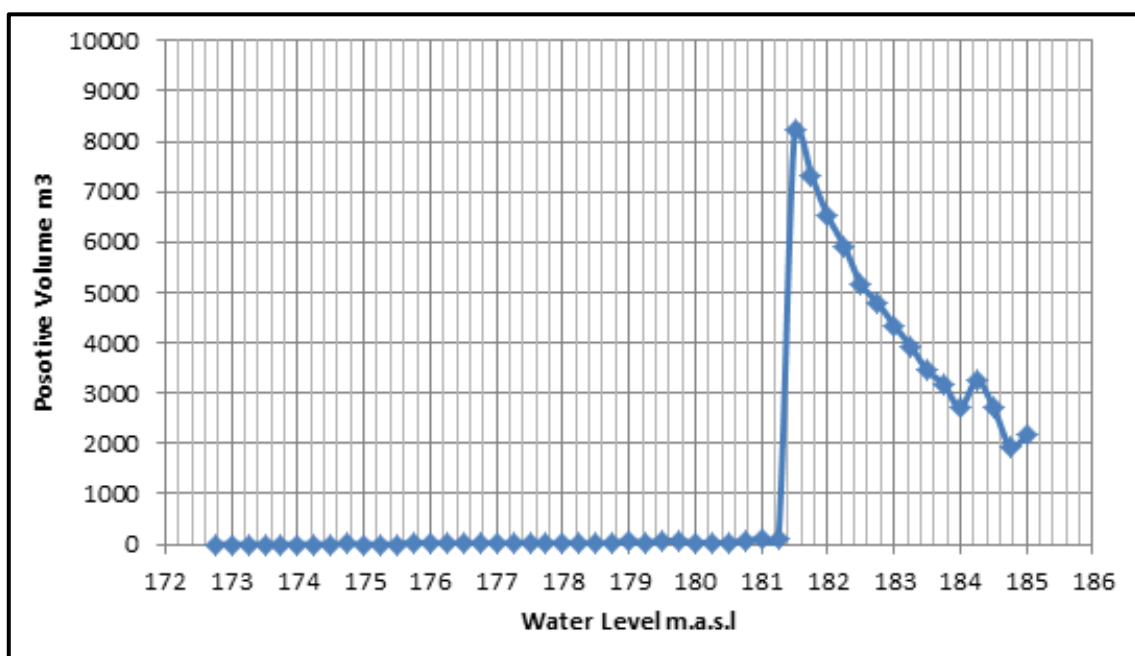


الشكل 5. الخزان عند المنسوب 185م

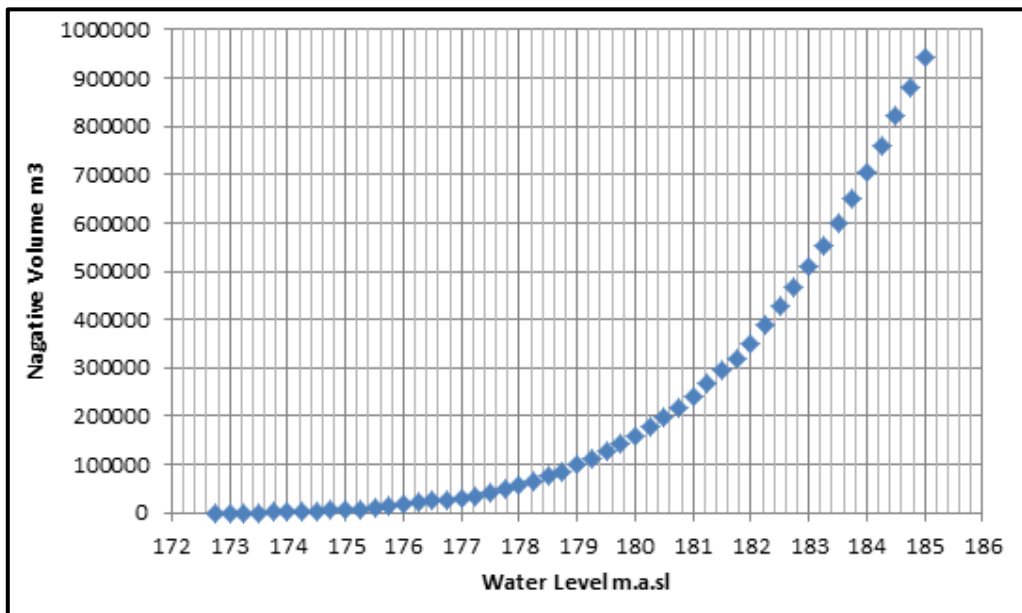
أولاً: الآثار السلبية ومنها: (1) تغطية منطقة الدراسة بالترسبات القابلة للذوبان التابعة لتكوين فتحة مما يؤثر على نوعية المياه وكذلك التأثير على الهياكل الداخلية لجوانب السد، (2) تتعرض المناطق الموجودة في حوض السد لمخاطر اقتصادية منها نزوح السكان، لذا يتطلب الأمر توطين جميع سكان القرى الواقعة داخل حدود الخزان قبل اكتمال السد، (3) المناطق المجاورة للخزان معرضة لخطر التهجير بسبب الفيضانات أثناء العواصف المطرية الكبرى وقدان الأرضي الزراعية والأوبئة وغيرها.

ثانياً: الآثار الإيجابية ومنها: (1) الاستفادة من عمليات تخزين المياه داخل خزان السد والاستفادة منها في مواسم الجفاف، (2) تنظيم عمليات التصريف الخارج الواردة إلى الوادي وتخزين الفائض لتقليل الهدر في المياه (3) الاستفادة من الإطلقات المائية في توليد الكهرباء، (4) استغلال وجود السد في خلق استثمار ترفيهي، وتعزيز الجانب السياحي، وإنشاء مجمعات ترفيهية خلف السد للاستفادة منها في الجانب الاقتصادي، (5) تعزيز الثروة السمكية والاستفادة منها، (6) الحد من تآكل التربة.

تظهر العلاقة بين منسوب المياه والحجم الموجب (حجم الجزر) علاقة تنبذبية، حيث نلاحظ الارتفاع والانخفاض من خلال المخطط، والأسباب التي تؤدي إلى تنبذب الحجم الموجب هي التمدد في حدود الخزان، فكلما زاد اتساع الخزان سيؤدي ذلك إلى غمر أراضٍ جديدة، وبالتالي ستظهر جزر جديدة ضمن حدود الخزان مما ينتج عنه زيادة في الحجم الموجب. ولكن عندما ينحسر الخزان نتيجة انخفاض منسوب المياه فيه سيؤدي ذلك إلى اختفاء بعض الجزر نتيجة خروجها من حدود الخزان وينتج عنه انخفاض في الحجم الموجب (الشكل 6). العلاقة السالبة بين الحجم السالب (حجم الخزين) ومستوى الماء هي علاقة مباشرة وتمر بثلاث مراحل: المرحلة الأولى بطيئة وتبدأ من 178.75 م إلى 172.75 م، والمرحلة الثانية عبارة عن انتقال من 178.75 م إلى 182.5 م، وتكون الزيادة أكثر من المرحلة الأولى، والمرحلة الثالثة من منسوب 182.5 م إلى 185 م، حيث تكون الزيادة كبيرة وأكثر حدة من المرحلتين السابقتين في الحجم السالب مع زيادة المنسوب. وسبب الانتقال بين هذه المراحل هو انتقال الخزان من جرف الوادي الرئيس باتجاه السهل الفيضي، ويكون امتداد الخزان أكثر اتساعاً ضمن حدود المراوح الفيضية (الشكل 7).

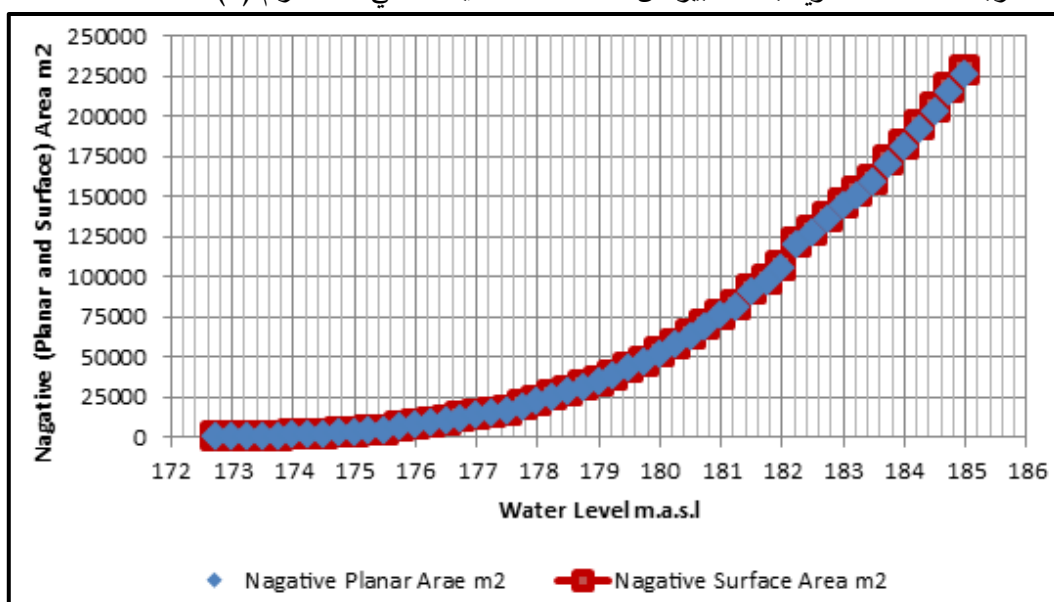


الشكل 6. العلاقة بين الحجم الموجب مع منسوب الماء للخزان المقترن.



الشكل 7. العلاقة بين الحجم السالب مع منسوب الماء للخزان المقترن.

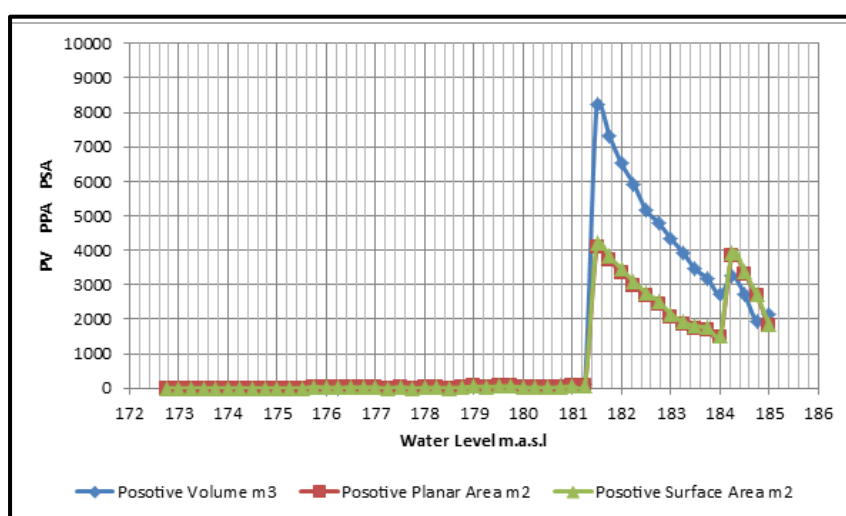
تكون العلاقة بين منسوب الماء (Water Level) مع المساحة السطحية السالبة والمساحة المستوية السالبة (Negative Planner Area and Negative Surface Area) علاقة شبه خطية ومتوسطة الانحدار في بداية الخزين من المنسوب (172.75)م إلى المنسوب (175.75)م، وهذا يدل على ان الخزين المائي يكون محصورا في المجرى الاصلي للخزان من جهته، وهذه العلاقة تبدأ بالتزاييد مع زيادة المنسوب الى حد المنسوب الافتراضي (185)م بنمط تصاعدي، حيث نلاحظ التطابق شبه الكامل لمنحنى المساحة السطحية السالبة مع منحنى المساحة المستوية السالبة عند زيادة المنسوب، وهذا التطابق الكبير في سلوك وشكل منحنيات المساحة المستوية السالبة والمساحة السطحية السالبة يعود الى سببين أولهما، هو قلة وعورة تضاريس القاع بحيث تتساوى المساحة المستوية السالبة مع المساحة المبتلة (السطحية السالبة)، وثانيهما، وهو السبب الاكثر ترجيحا، متمثلا بقلة وضوح نموذج الارتفاعات الرقمية (DEM) إذ تتلاشى جميع التضاريس التي تقل مساحتها عن مساحة البكسل الواحدة (حيث ان مساحة البكسل الواحدة في هذه الدراسة هو 10×10 متر) لذلك تقترب المساحة المستوية بشكل كبير من المساحة السطحية كما في الشكل رقم (8).



الشكل 8. علاقة المساحة المستوية السالبة والمساحة السطحية السالبة مع منسوب الماء للخزان المقترن.

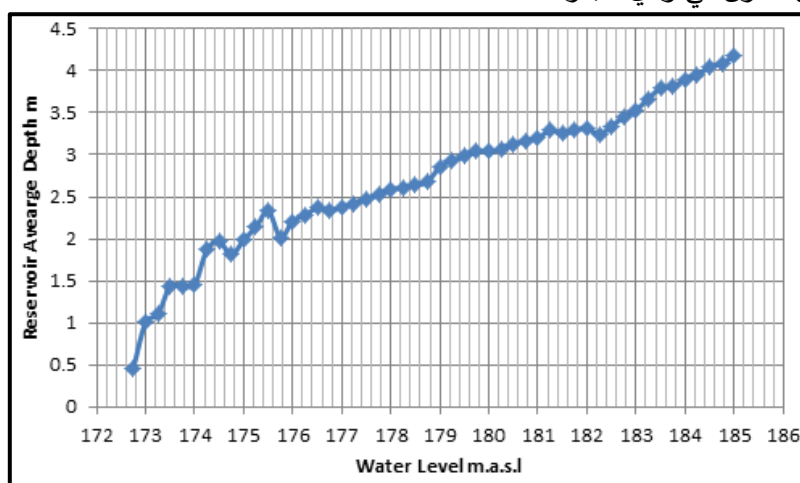
علاقة منسوب الماء والحجم الموجب والمساحة المستوية والسطحية الموجبة

من خلال ملاحظة علاقة المنسوب المائي (PV) مع كل من حجمه الموجب (Water Level) (PV) الذي يمثل حجم الجزر ضمن حدود الخزان عند المنسوب المعنى، والمساحة الموجبة السطحية (Volume) (PSA) الذي تمثل المساحة غير المستوية او المتعرجة للجزر والمنكشفة داخل حدود الخزان، والمساحة الموجبة المستوية (Positive Surface Area) (PPA) التي تمثل مساقط تلك الجزر، تكون كلها علاقات متذبذبة، حيث تتطابق المساحة السطحية مع المساحة المستوية بشكل كامل، وهذا التطابق الكلي يدل ايضا على ان سطوح الجزر مستوية بحيث تكون مساحة سطوحها مشابهة لمساحتها، كما ان تطابق منحنى الحجم الموجب (PV) مع منحنى المساحة الموجبة السطحية (PSA) ومنحنى المساحة الموجبة المستوية (PPA) بين المناسيب (172.75 - 173.5)م و (174.25 - 175.5) و (174.5 - 175) يوحي الى قلة سمكات الجزر التي تظهر بين هذه المناسيب (وتكون اقل من وحدة سمك واحدة)، وهذا الاستنتاج يمكن ان تبني عليه القرارات التي تخص منطقة الدراسة فيما يتعلق بالخزان المائي وتصميم السد المقترن والمنشآت السياحية، كما مبين بالشكل (9).



الشكل 9. علاقة الحجم الموجب والمساحة المستوية والسطحية الموجبة مع منسوب الماء للخزان المقترن.

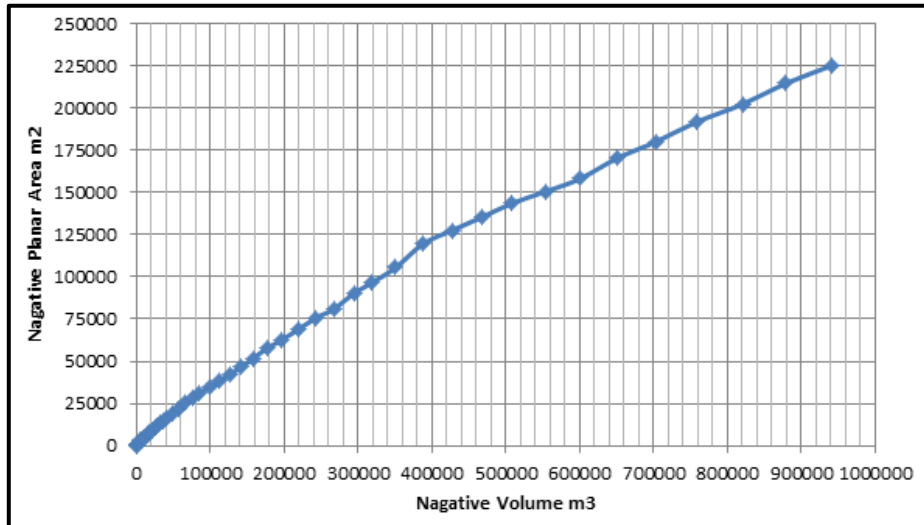
تظهر العلاقة بين متوسط عمق الخزان ومنسوب المياه في الشكل (10)، حيث تكون الزيادة تدريجية مع ارتفاع المنسوب حتى يصل إلى مستوى 185 فوق مستوى سطح البحر، حيث يبلغ متوسط عمق الخزان 4.17 م، وهو الحد الأقصى لمتوسط عمق الخزان في وادي الجفر.



الشكل 10. علاقة معدل العمق مع منسوب الماء للخزان المقترن.

علاقة الحجم السالب والمساحة المستوية السالبة

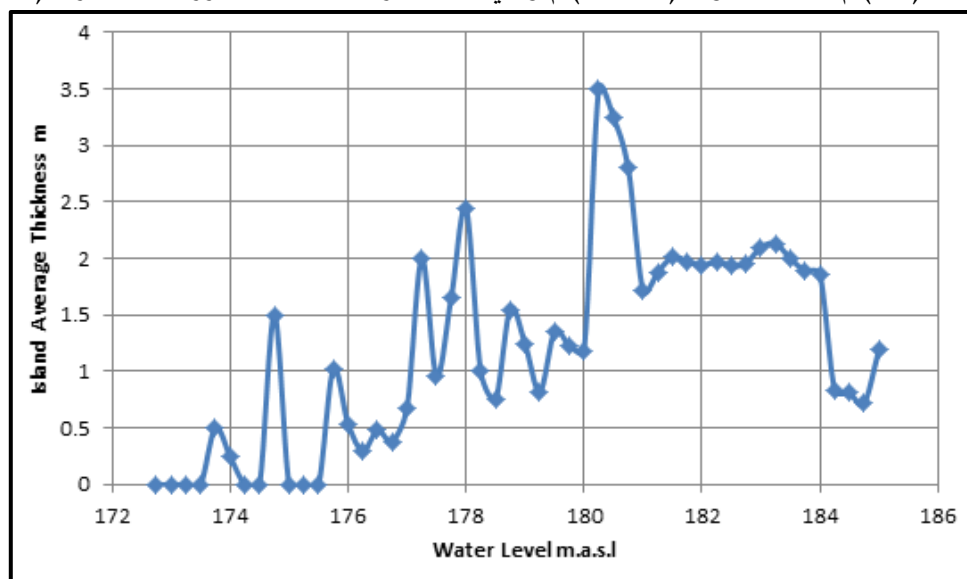
يلاحظ ان العلاقة المباشرة بين الحجم السالب (Negative Volume)، والمساحة السالبة المستوية (Negative Planner Area) تظهر بانها علاقة شبه خطية، اذ ان الحجم السالب يزداد مع زيادة المساحة المستوية السالبة حيث تكون اقل قيمة للحجم السالب هي $(13) \text{ m}^3$ والمساحة المستوية السالبة المقابلة لها هي $(28) \text{ m}^2$ ثم تبدأ الزيادة في الحجم السالب مع زيادة المساحة المستوية السالبة حيث تكون اكبر قيمة حجم سالب للخزان هي $(941788) \text{ m}^3$ والمساحة المستوية السالبة المقابلة لها تكون $(225489) \text{ m}^2$ والمناظر المنسوب الاعلى $(185.0) \text{ m}$ فوق مستوى سطح البحر، كما في الشكل (11).



الشكل 11. علاقة الحجم السالب مع المساحة المستوية السالبة للخزان المقترن.

علاقة منسوب الماء ومعدل سمك الجزر

تكون العلاقة بين منسوب الماء ومعدل سمك الجزر (Average Island Thickness) متذبذبة، حيث يكون معدل السمك منخفضا عند المستويات الاولى ثم يزداد بعد ذلك ثم يتذبذب معدل السمك بين الزيادة والنقصان الى ان يصل الى معدل السمك $(3.5) \text{ m}$ ، عند المنسوب $(180.25) \text{ m}$ والذي يمثل اكبر معدل سمك لجزر داخل الخزان (الشكل 12).



الشكل 12. علاقة معدل سمك الجزر مع منسوب الماء للخزان المقترن.

الاستنتاجات

- 1- نتيجة اضافة جزر جديدة بسبب توسيع حدود الخزان، نلاحظ التذبذب في المنحنيات الخاصة بالمساحة المستوية الموجبة والمساحة السطحية الموجبة اضافة الى الحجم الموجب مع تذبذب منسوب المياه.
- 2- تشير العلاقة بين الحجم السالب مع المنسوب المختلف والمنتخبة للمياه الى وجود ثلاثة مراحل يتغير فيها حجم الخزين المائي للخزان: المرحلة الاولى، يكون فيها حجم الخزين قليلاً لأن الخزان يقع ضمن حدود المسار الطبيعي للوادي. والمرحلة الثانية، يكون حجم الخزين فيها أكبر من المرحلة الاولى نتيجة لخروج الخزان عن مساره الطبيعي للوادي. والمرحلة الثالثة، تكون فيها زيادة في الحجم السالب مع زيادة المنسوب بشكل كبير وأكثر حدة من المرحلتين السابقتين، وسبب الانتقال بين هذه المراحل هو انتقال الخزن من جرف الوادي الرئيس باتجاه السهل الفيسي، ويكون امتداد الخزان أكثر اتساعاً ضمن حدود المراوح الفيصية اضافة الى وجود جزر جديدة.
- 3- نتيجة لعدم الدقة في نموذج الارتفاع الرقمي، نلاحظ التطابق شبه الكامل بين المساحة السطحية السالبة والمساحة المستوية السالبة.
- 4- منع إنشاء المنشأة في المناطق الواقعة داخل حدود خزان السد المقترن.

المصادر

- Al-Bayati, B.E., 2020. Geological and Geometric Analysis of the Proposed Al-Fatha Dam as a Dam for the Partially Executed Makhoul Dam / Al-Fatha Area / North Baiji, Department of Applied Geosciences, Faculty of Science, Tikrit University, Master's Thesis. [DOI:10.1051/e3sconf/202131801009](https://doi.org/10.1051/e3sconf/202131801009)
- Al-Jubouri et al., 2023. A New Methodology for Tracking the Haditha Dam Reservoir and the Potential Storage in the Proposed Al-Baghdadi Dam, a Hydrological-Geometric Study/Western Iraq, Unpublished MSc Thesis, Tikrit University (In Arabic).
- Al-Jubouri., 2018. Geological and geometric analysis of the Abu Khashab Dam reservoir, southeast of Tikrit/Iraq, unpublished master's thesis, Tikrit University (In Arabic).
- Al-Kraaey, N.A. et al., 2022. Extraction of Geometric Elements of the Bakhma Dam Reservoir by Automated Methods Based on the Digital Elevation Model DEM, Tikrit University, Tikrit University Journal for Humanities, 29 (9). <https://doi.org/10.25130/jtuh.29.9.2.2022.8>
- Al-Kraaey, N.A., 2016. Geometric Analysis of the Proposed Jarnaf Dam Site, Al-Sharqat/Northern Iraq, College of Science, Department of Applied Geology, Tikrit University, Tikrit University Journal of Pure Sciences, 21 (2). (In Arabic)
- Al-Qaisi, S.A. and Abdul Qadir, I.T. and Ibrahim, A.M. and Hussain, H.M., 2018. Geometric investigation of Al-Wind Dam Reservoir Northeastern Iraq, using Digital Elevation Models and Spatial Analyses System, Tikrit Journal of Pure Science, 23 (3). <http://dx.doi.org/10.25130/tjps.23.2018.051>
- Al-Shahri, Gh.Sh., 2016. Flood Tracking of the Tigris River in Baiji and the Makhoul Dam Reservoir Proposed for Virtual Operation of the Dam, Faculty of Science, Department of Applied Earth Sciences, Tikrit University, MSc Thesis. [DOI:10.25130/tjps.v22i1.616](https://doi.org/10.25130/tjps.v22i1.616)

- Badawi, M.S. and Saleh, S.A. and Abood, M.R., 2023. Spatial Analysis for Geometric Parameters of Badush Dam Reservoir, Mosul, Northern Iraq, Tikrit University, Journal of Sciences, Under press. [DOI:10.25130/tjps.v28i6.1391](https://doi.org/10.25130/tjps.v28i6.1391)
- Buday, T., 1980. The Regional geology of Iraq (Stratigraphy Paleontology) Dar AL-Kutib Publishing House, Mosul, Iraq, 443 P.
- Ministry of Water Resources, A Report on Water Resources in Iraq, 2010. 14 P. (In Arabic).
- Saleh, Latif Mazal, 2014. A Hydrological and Geometric Study to Choose the Optimal Level on Makhul Dam Reservoir, Unpublished PhD Thesis, Tikrit University (In Arabic).
- Saleh, S.A., Ali, B.R. and Ahmed, M.A., 2021. Study of Geometric Parameters for the Proposed Protecting Dam Reservoir in Al-Fat'ha Area, Iraq, E3S Web of Conferences, 2nd International Conference on Geotechnical Engineering – Iraq (ICGE2021), 318, 01009, pp. 1-13. <https://doi.org/10.1051/e3sconf/202131801009>